

200 0 200 0 200 0

V<sub>c</sub>

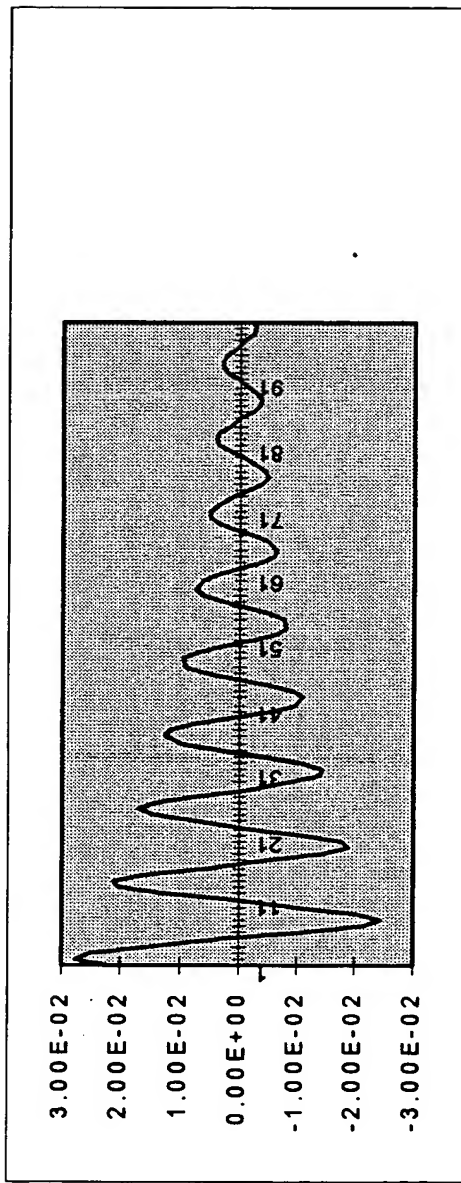


FIG. 1

391  
352  
313  
274  
235  
196  
157  
118  
79  
40

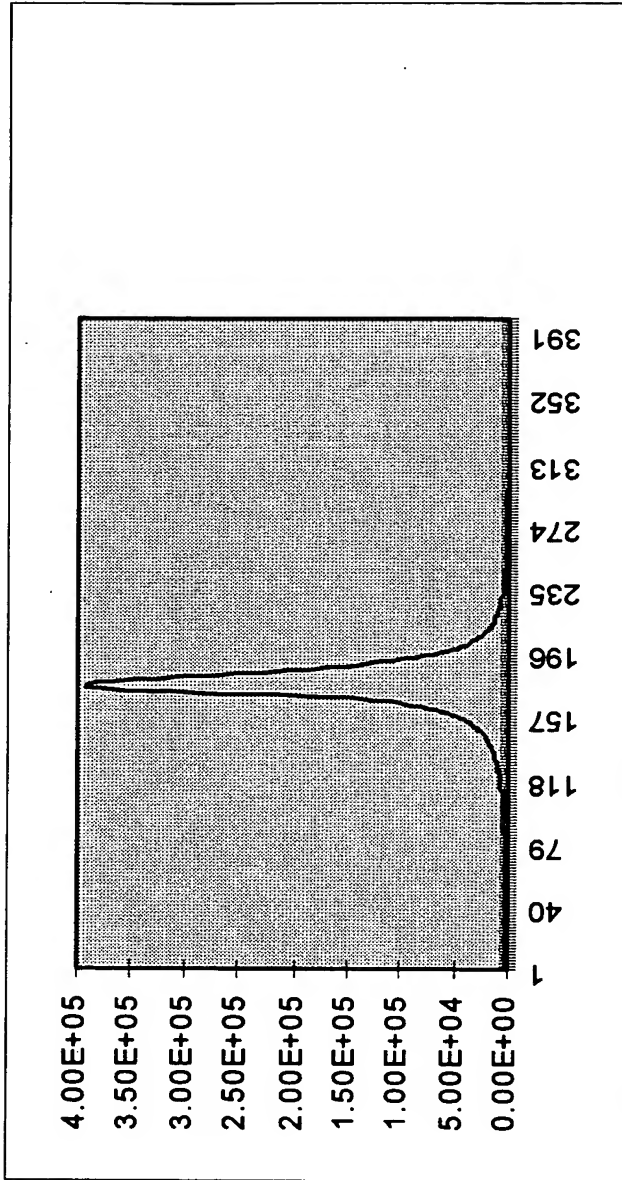


FIG. 2

5.00E-03  
4.00E-03  
3.00E-03  
2.00E-03  
1.00E-03  
0.00E+00  
-1.00E-03  
-2.00E-03  
-3.00E-03  
-4.00E-03  
-5.00E-03  
-6.00E-03

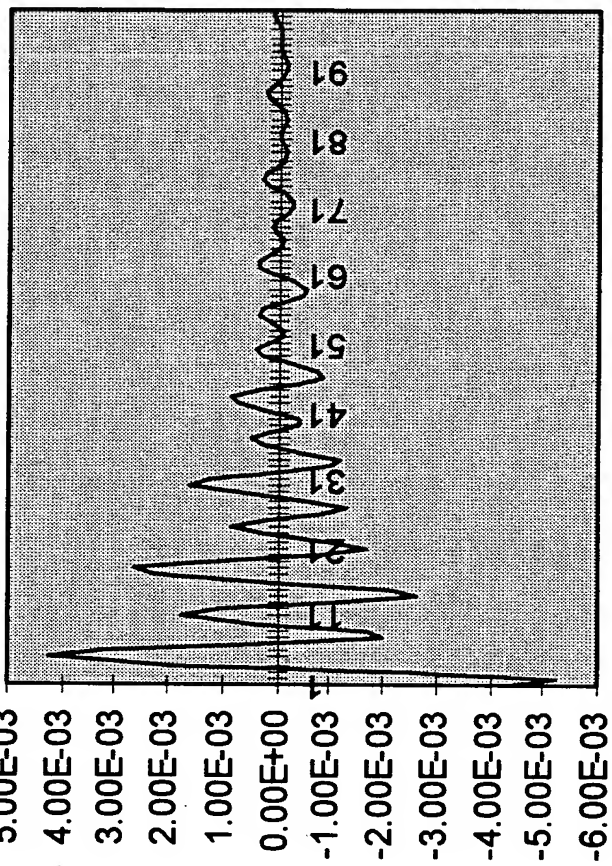


FIG. 3

391  
352  
313  
274  
235  
196  
157  
118  
79  
40

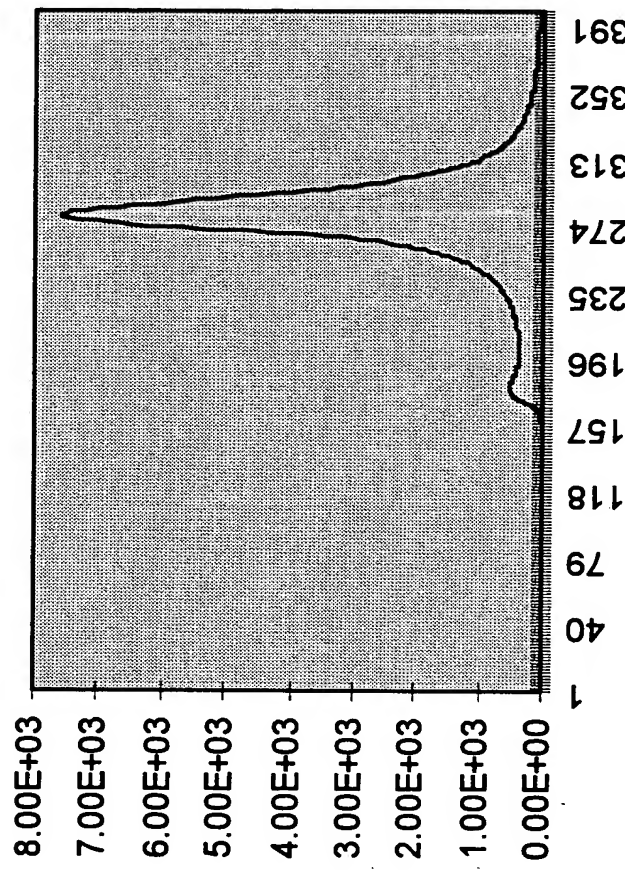


FIG. 4

200 190 180 170 160 150 140 130 120 110 100 90 80 70 60 50 40 30 20 10

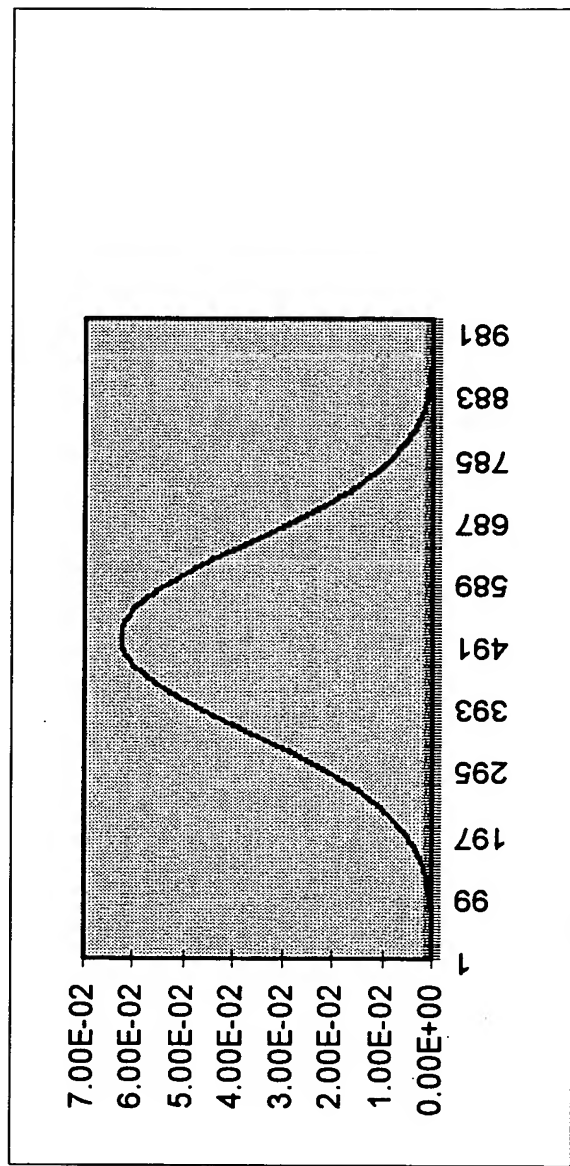


FIG. 5A

20 T 10 20 5 10 5 10 0 K

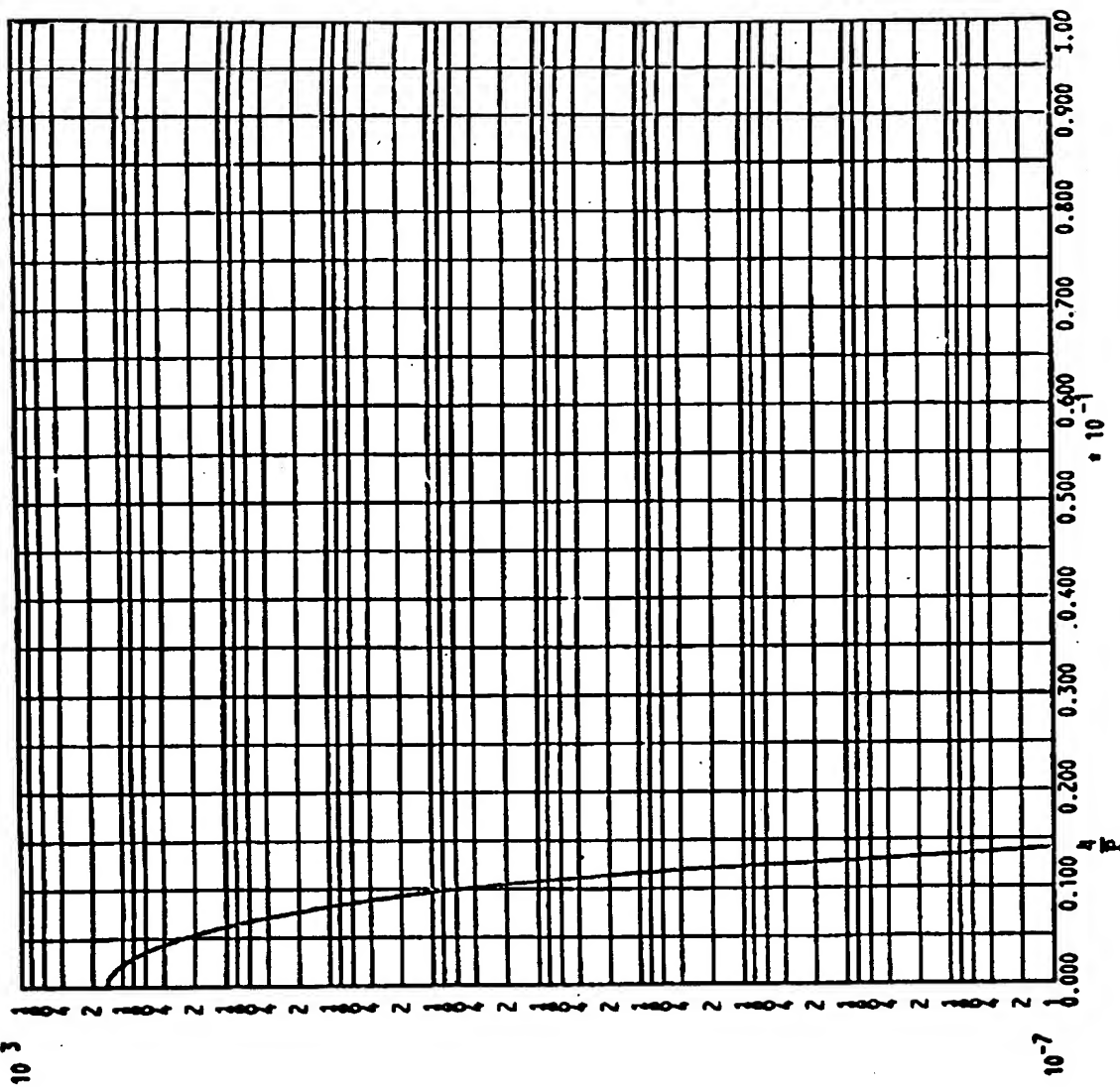


FIG. 5B

10<sup>3</sup>

20130228-20130228

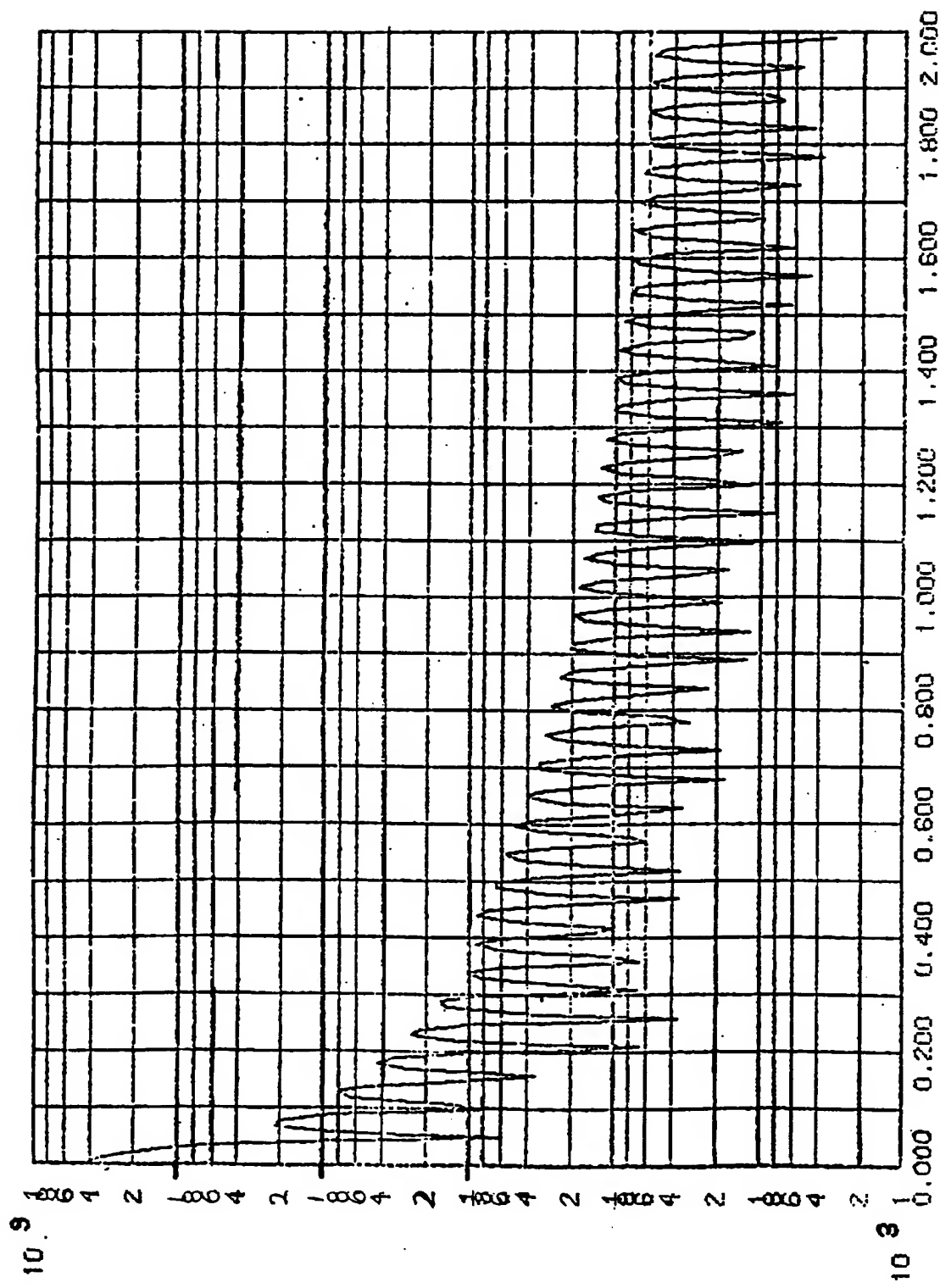


FIG. 5C

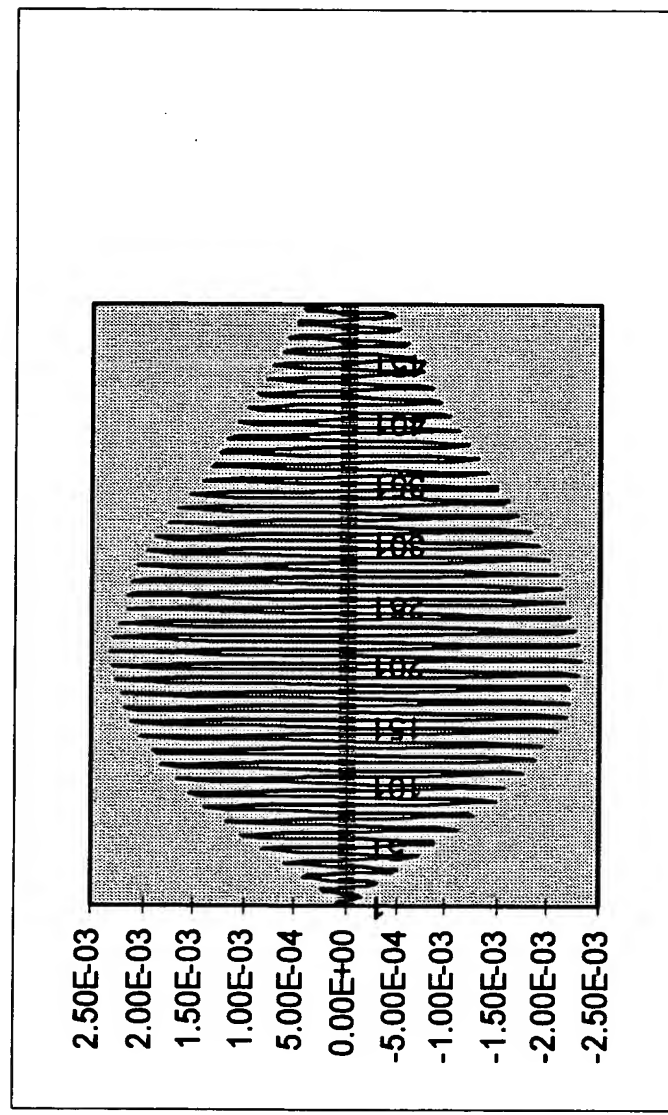


FIG. 6

233 232 231 230 229 228

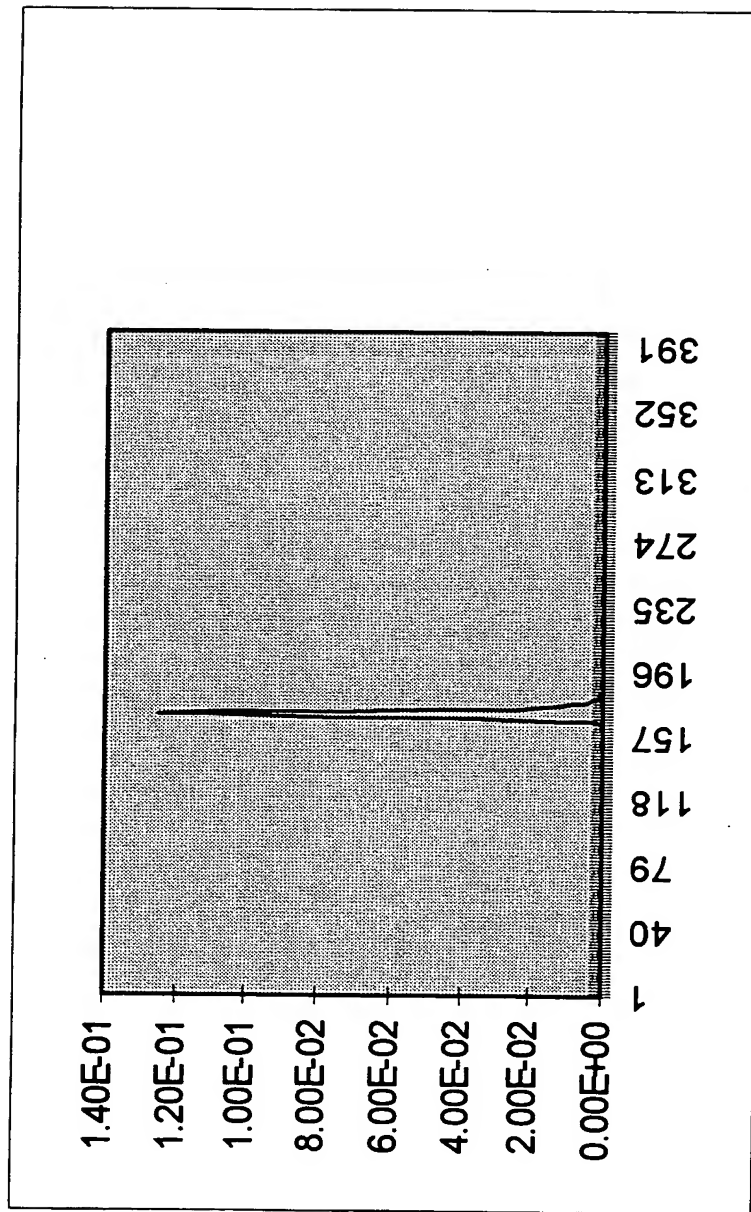


FIG. 7

© 2010 SAGE Publications

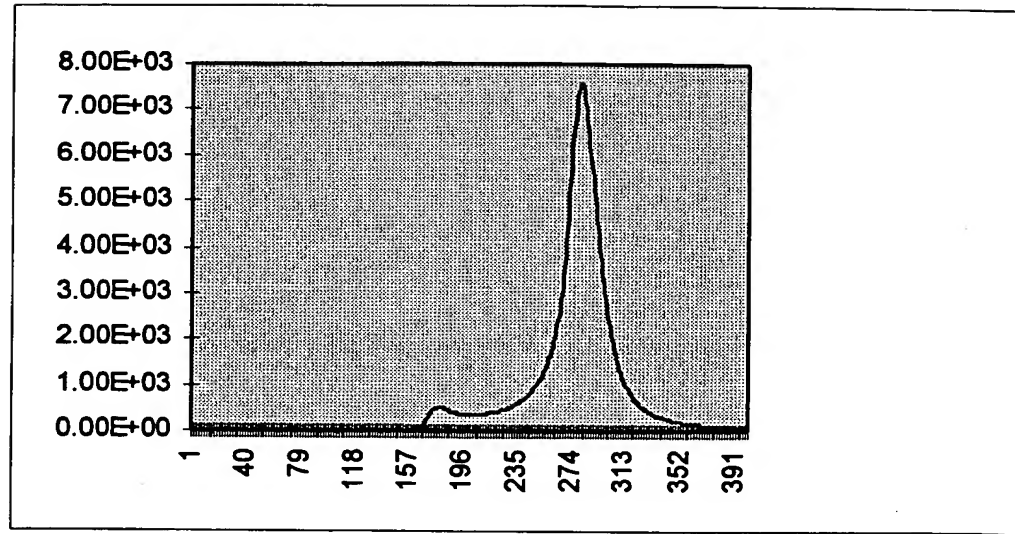


FIG. 8A

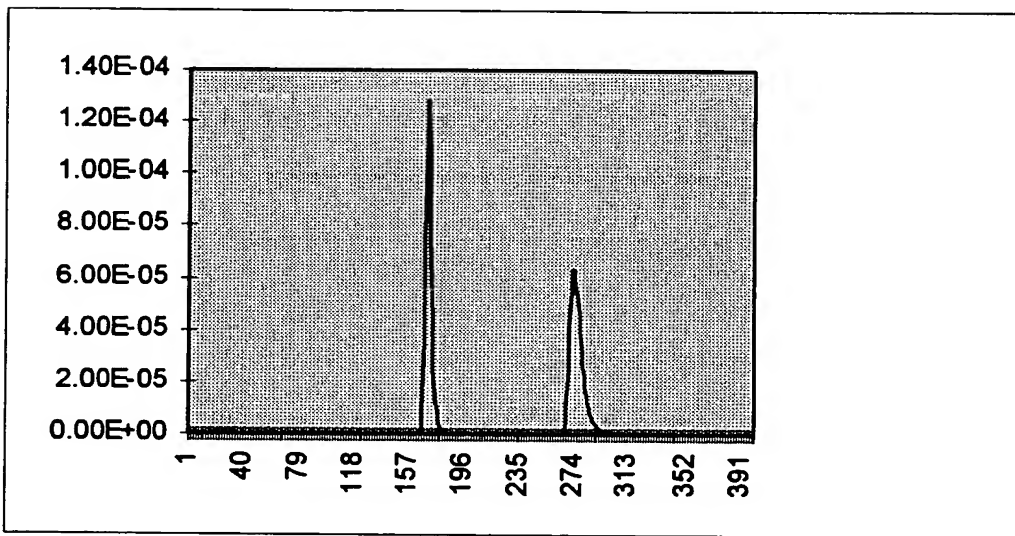
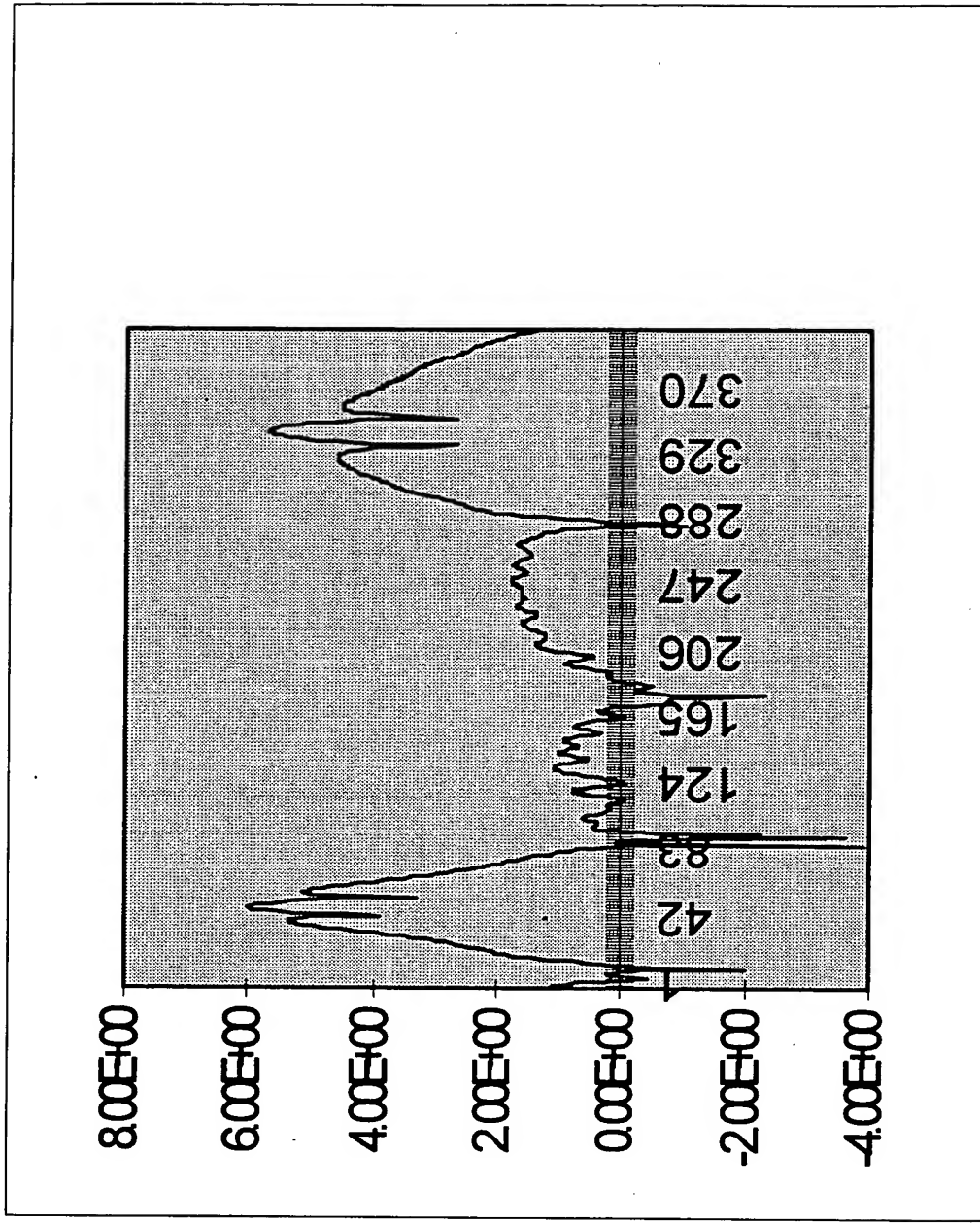


FIG. 8B

FIG. 9



20 19 18 17 16 15 14 13 12 11 10 9 8 7 6 5 4 3 2 1

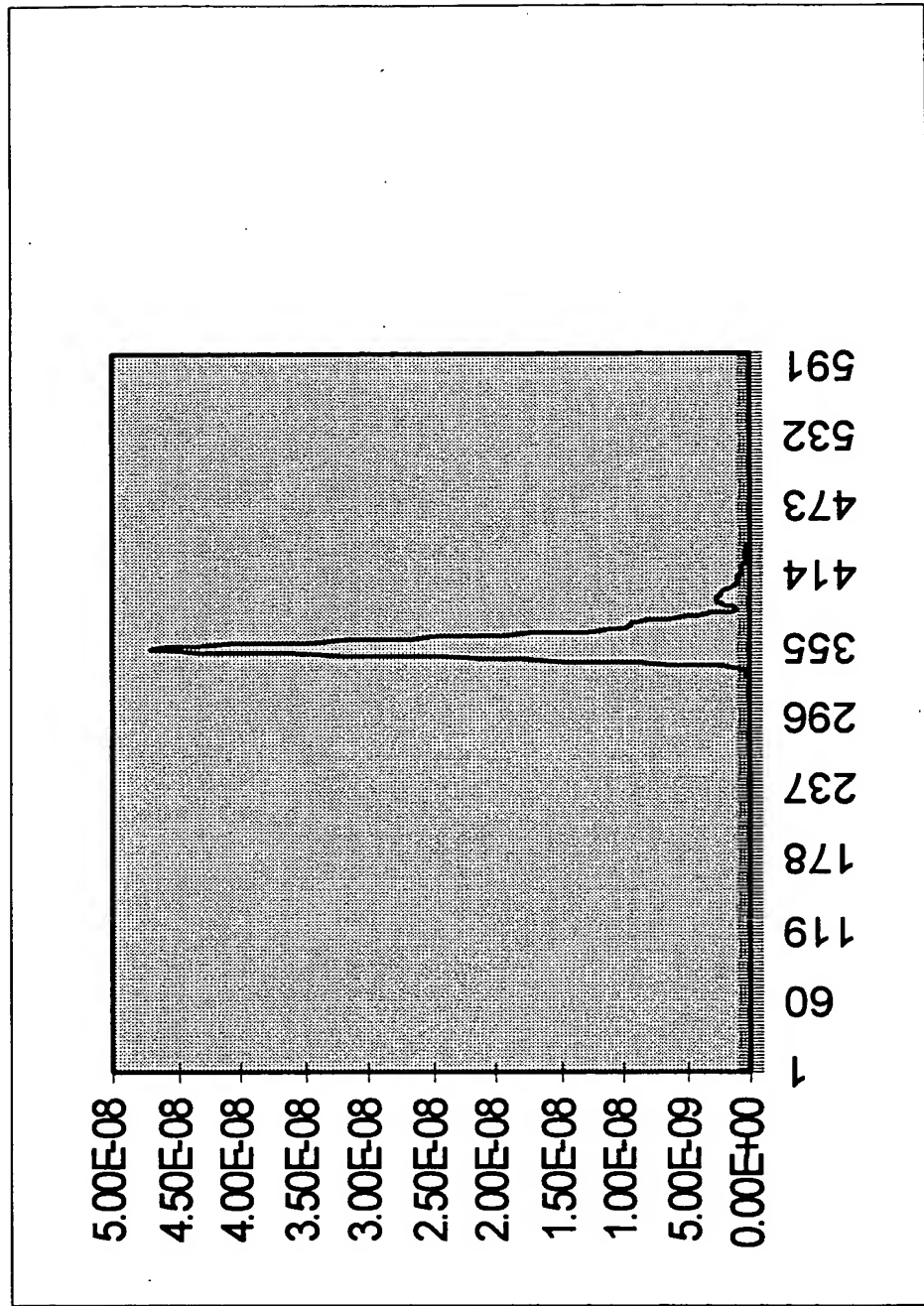


FIG. 10

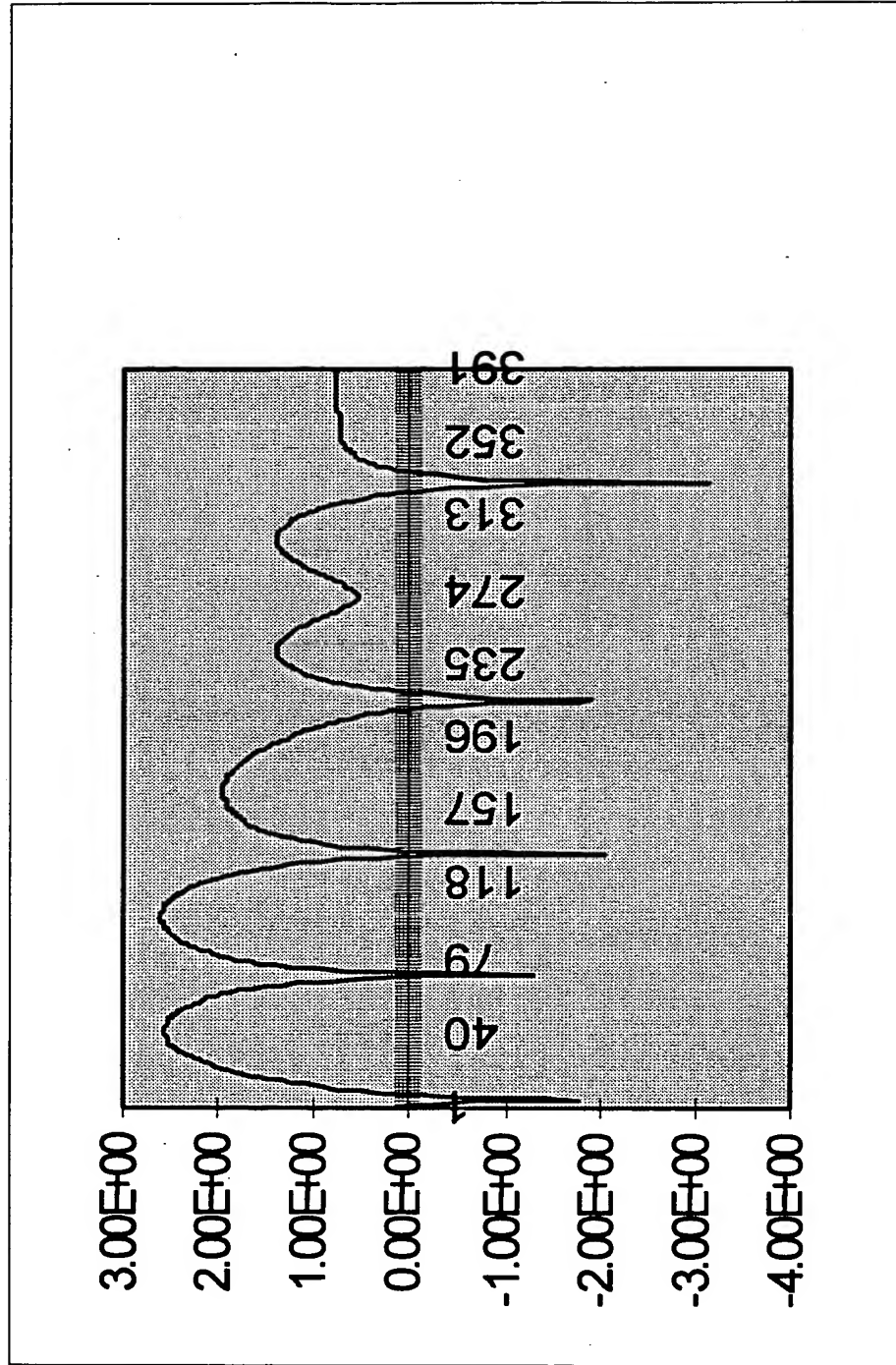
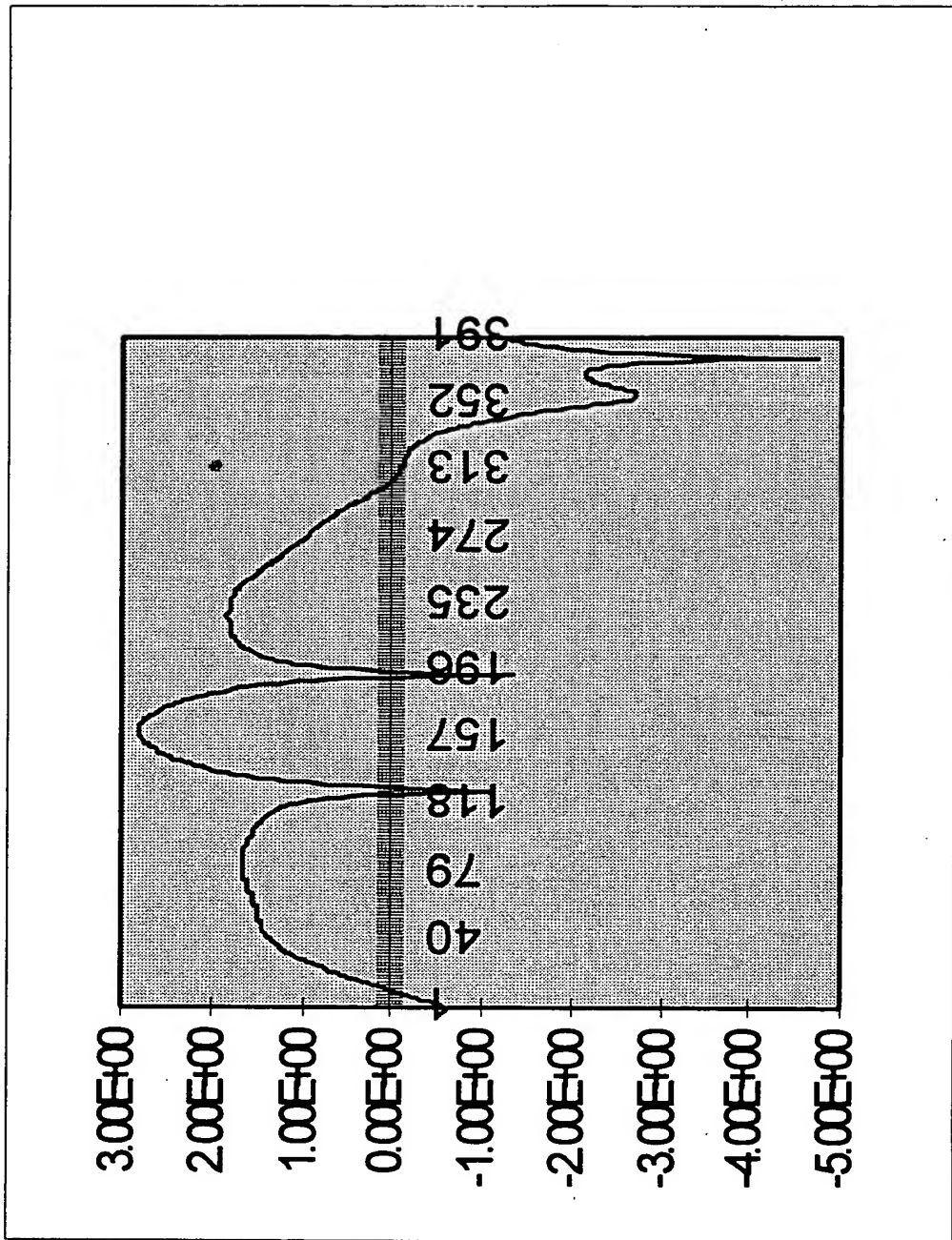


FIG. 11A



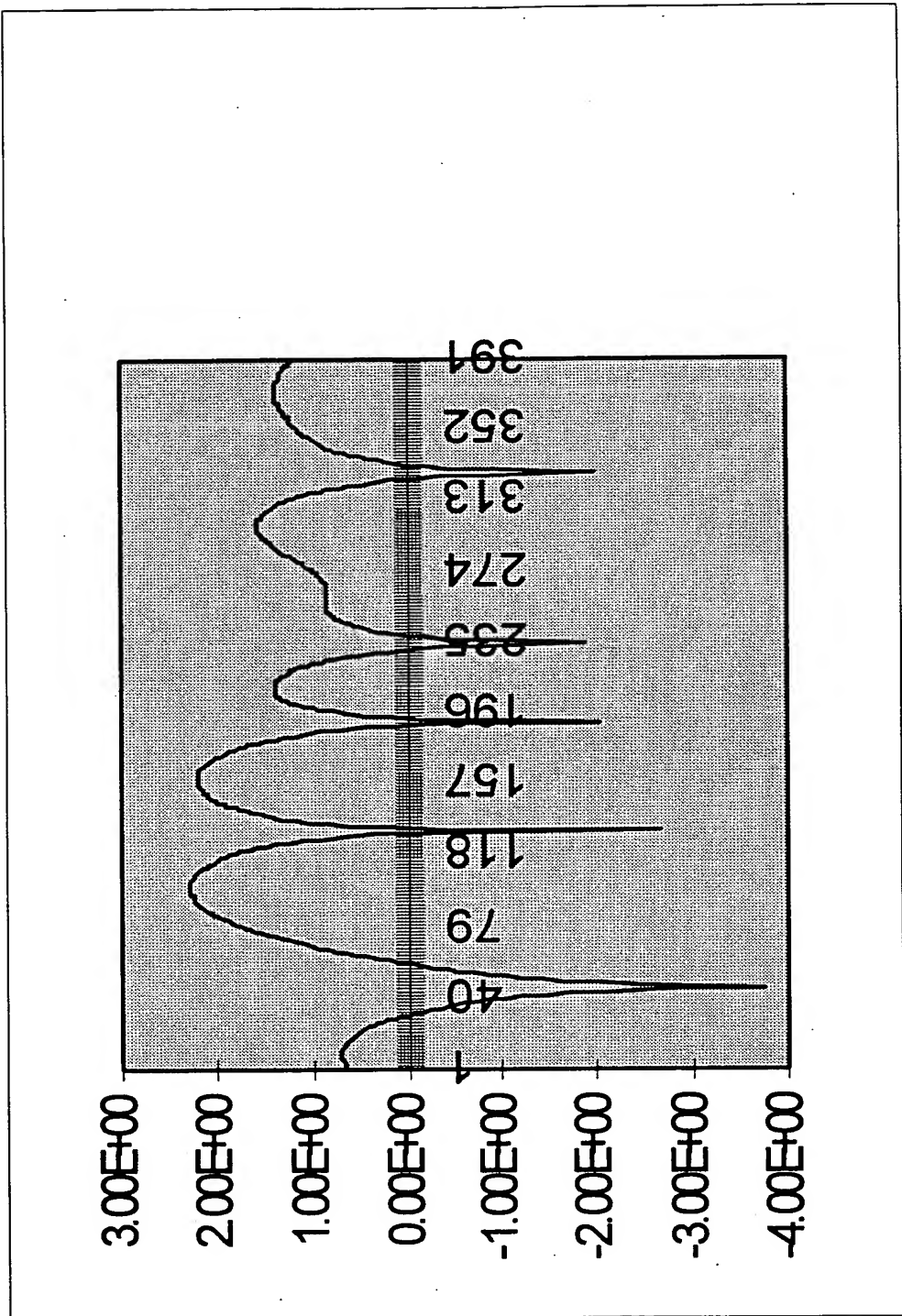


FIG. 11C

4 6 8 10 12 14 16 18 20 22 24 26 28 30

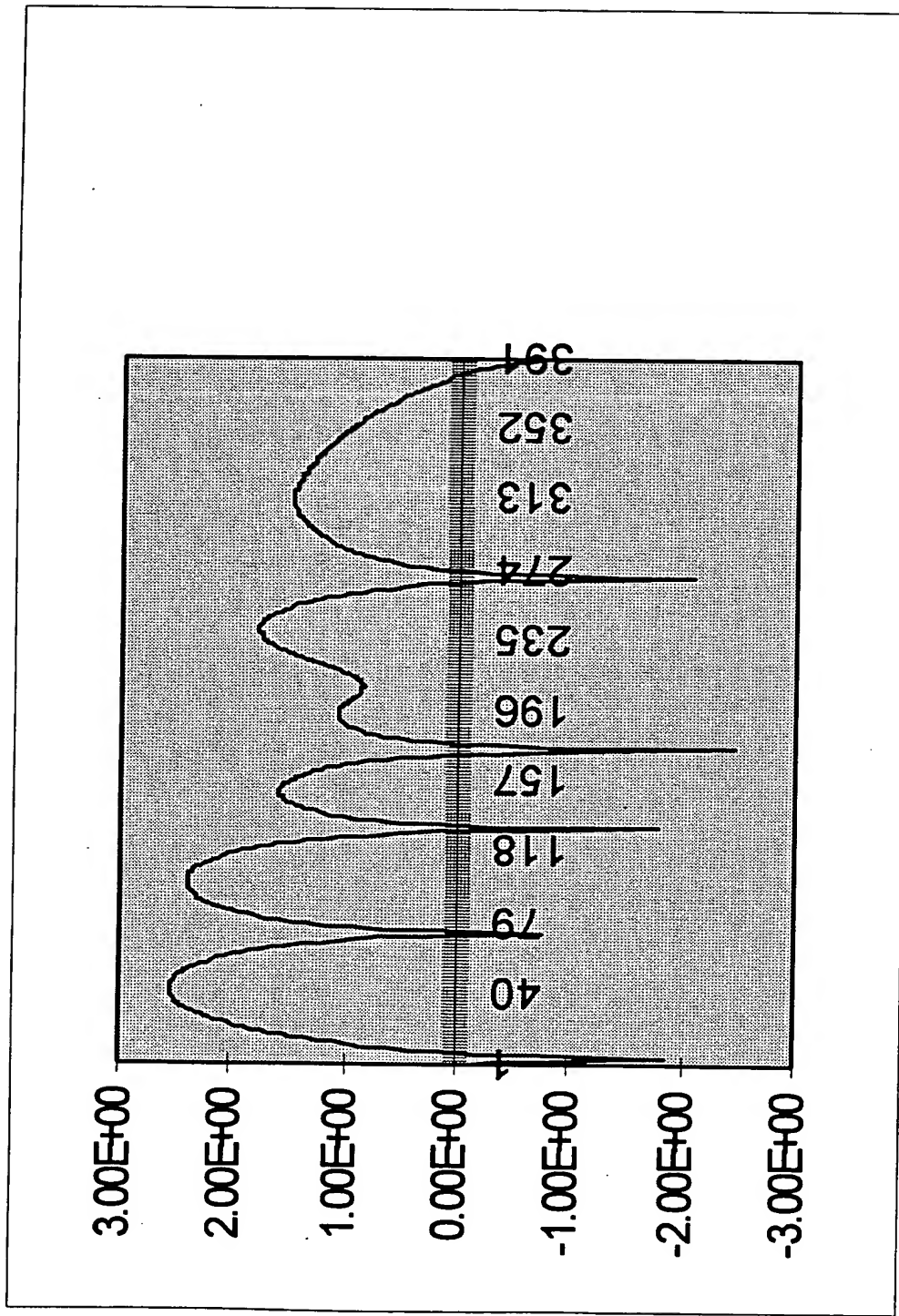


FIG. 11D

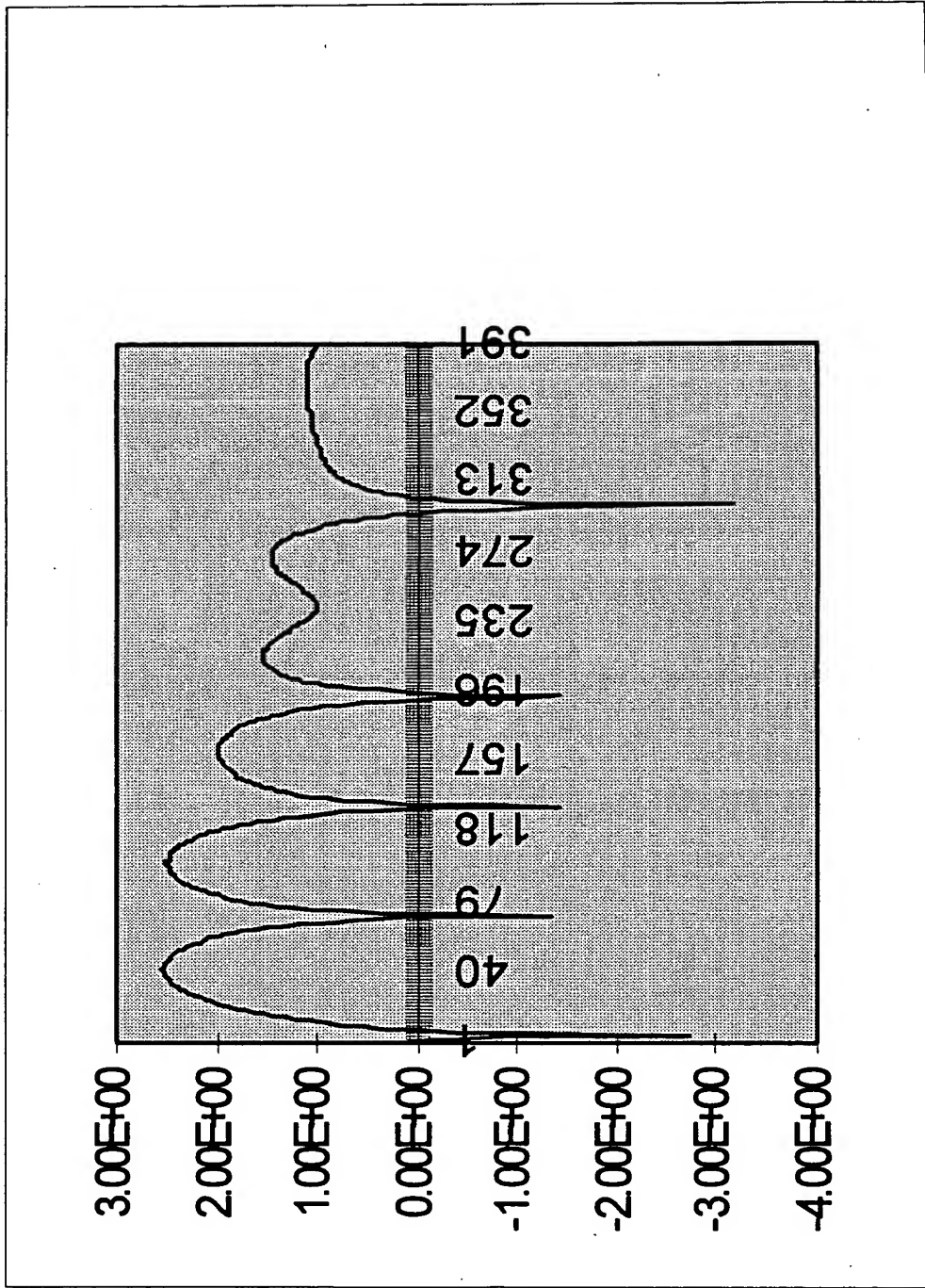


FIG. 11E

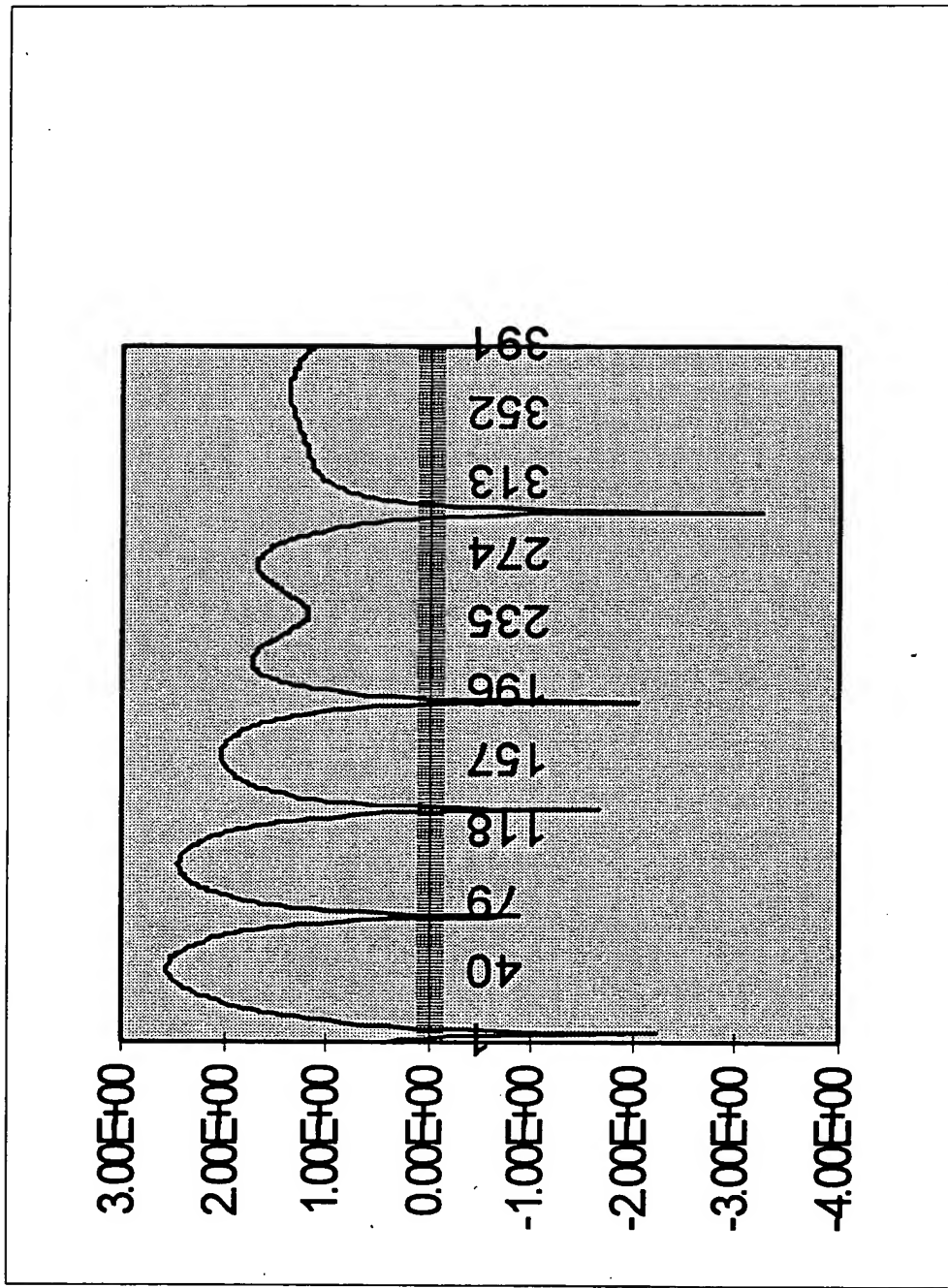


FIG. 11F

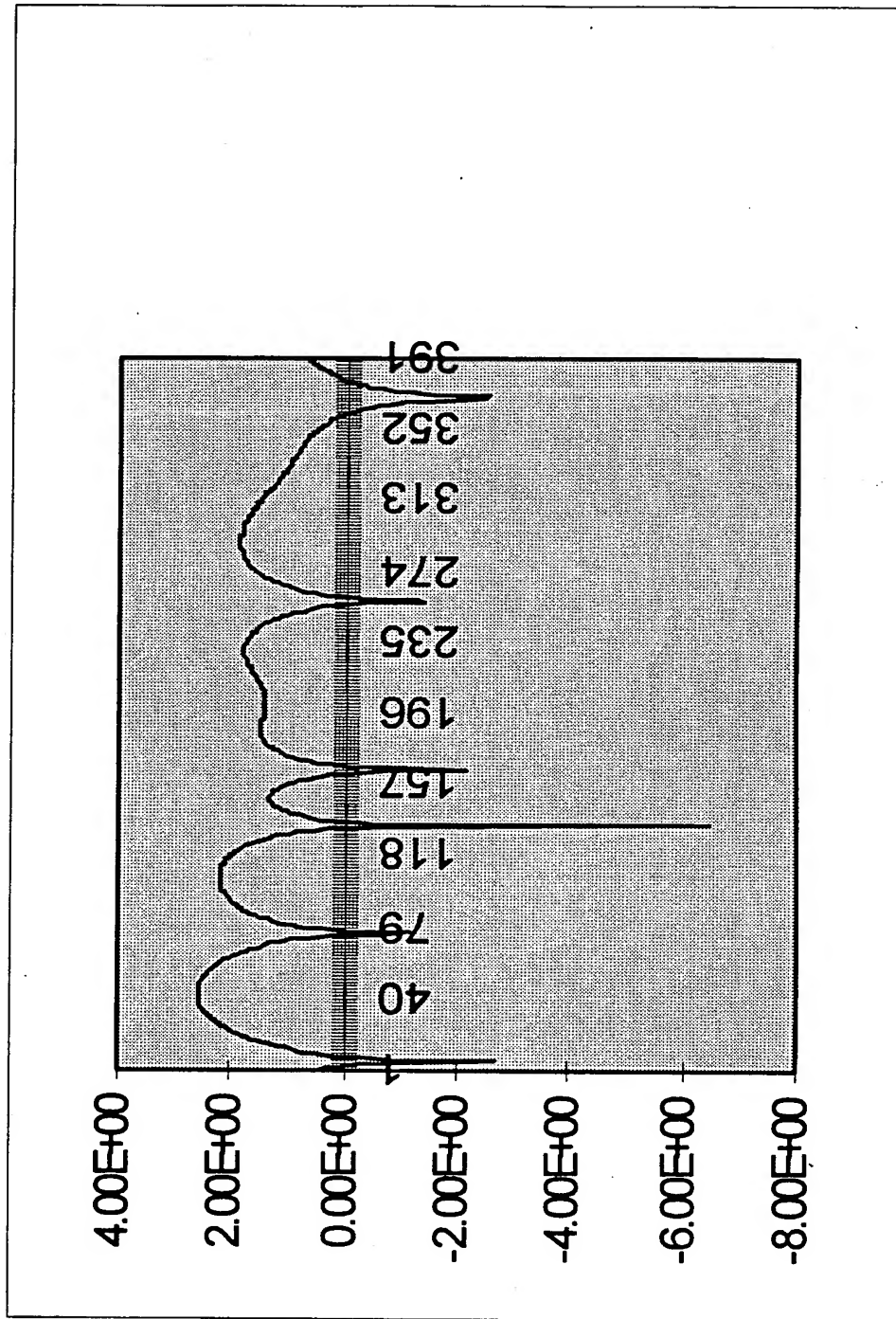


FIG. 11G

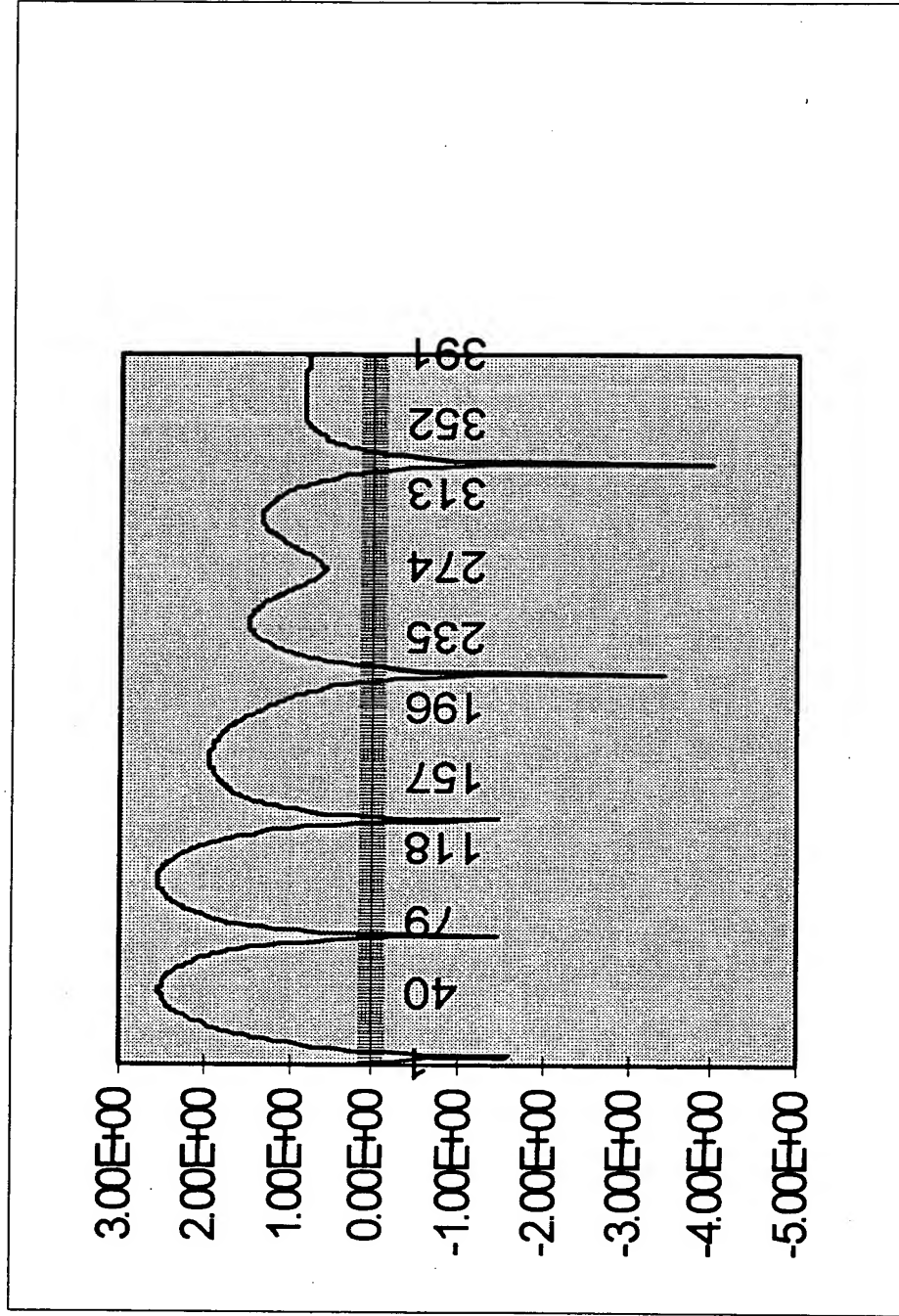


FIG.11H

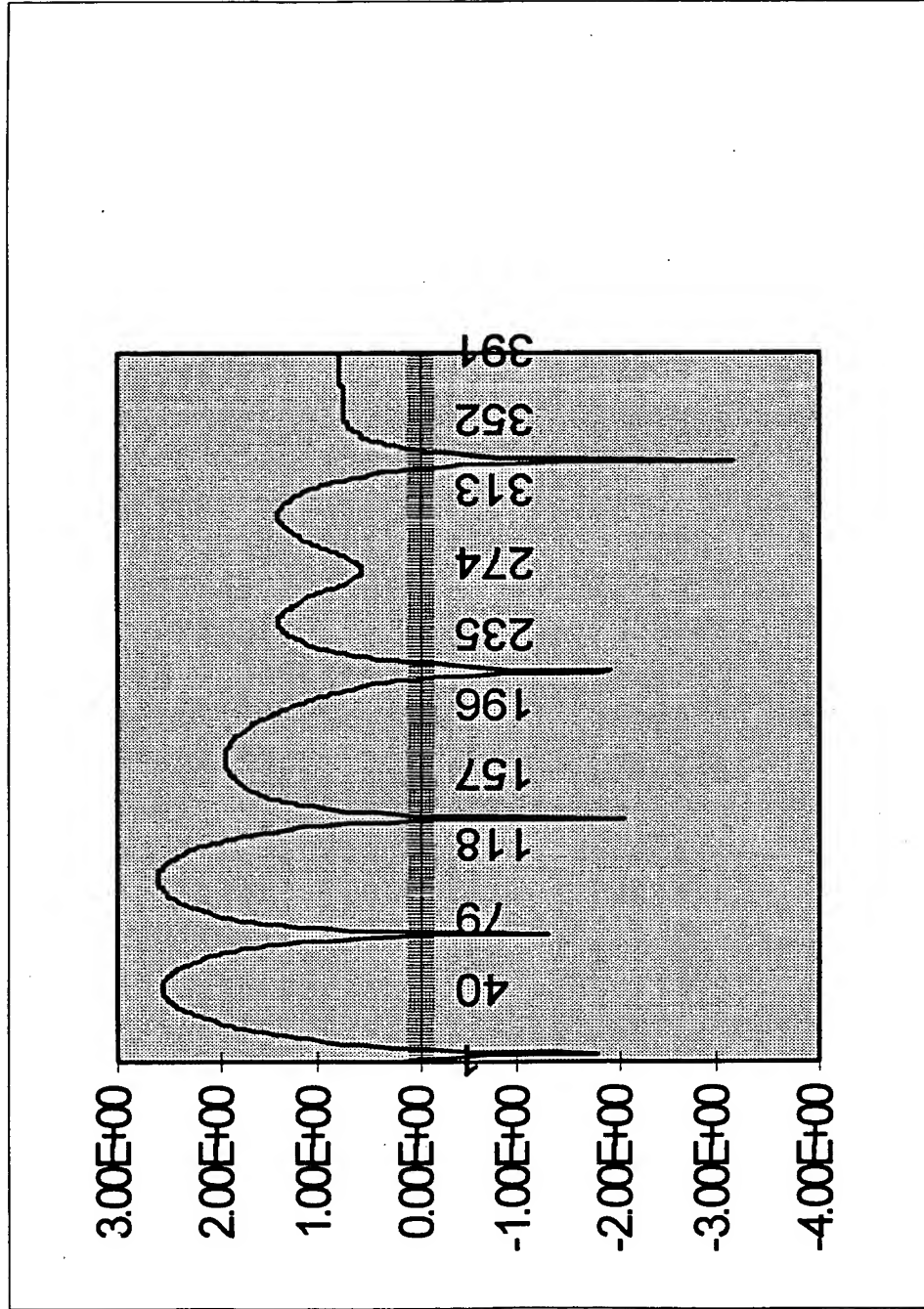


FIG. 111

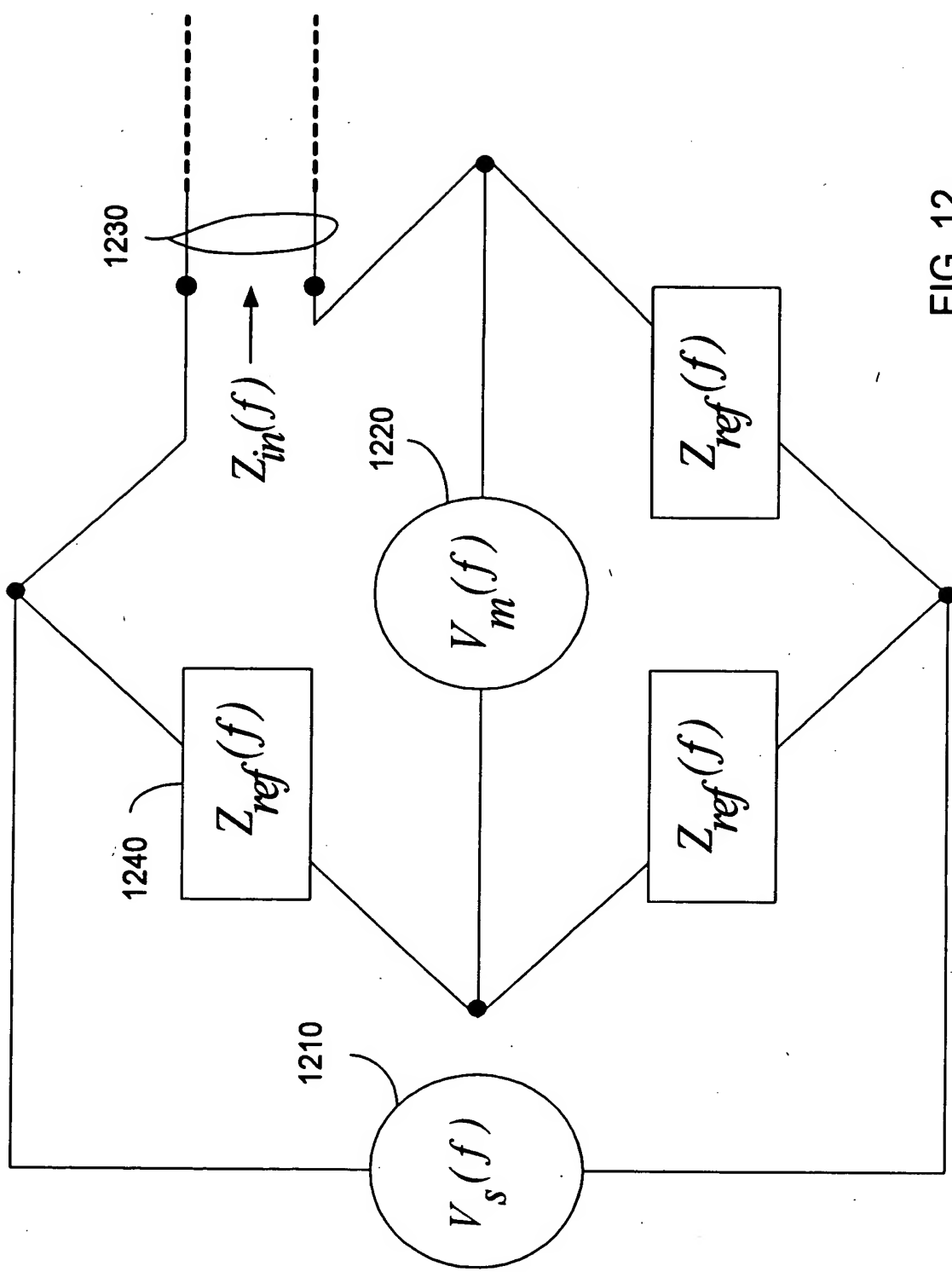


FIG. 12

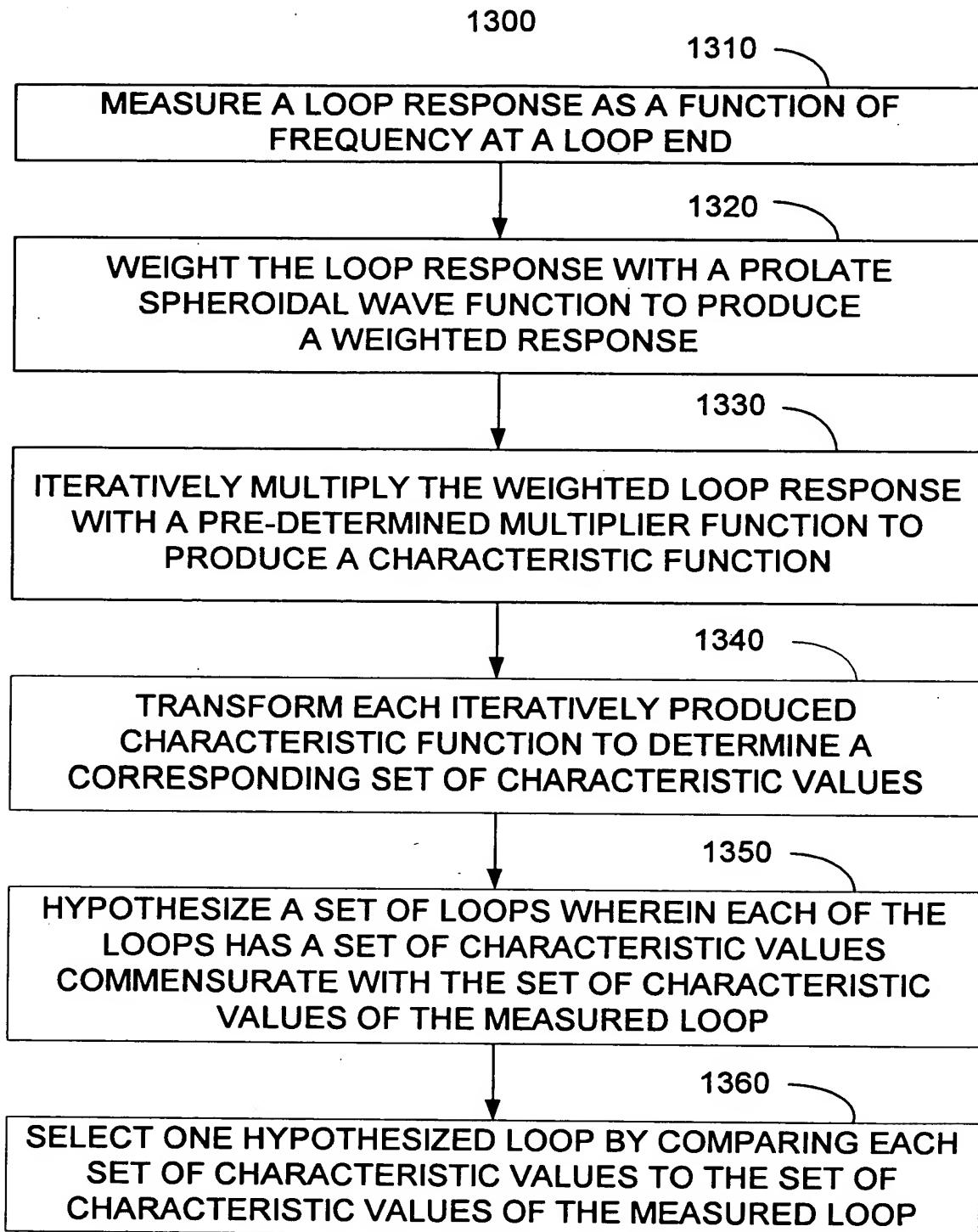


FIG. 13